

تأثیر روش‌های مختلف آماده سازی بر فرایند خشک شدن آلبالو

حمید رضا گازر^{*} هومن شریف نسب^۲ امیدرضا روستاپور^۳

۱- استادیار پژوهش موسسه تحقیقات فنی و مهندسی کشاورزی، hgazor@yahoo.com

۲- استادیار پژوهش موسسه تحقیقات فنی و مهندسی کشاورزی

۳- استادیار پژوهش مرکز تحقیقات کشاورزی استان فارس

چکیده

در این تحقیق برای خشک شدن آلبالو، تأثیر آماده‌سازی اولیه محصول در چهار سطح (فروبری در آب جوش، فرو بری در محلول ۲۰ درصد آب نمک در حال جوش، فرو بری در محلول ۲ درصد اتیل اولئات و تیمار بدون آماده سازی بعنوان شاهد) و تغییرات دمای خشک کن در سه سطح (۵۰، ۶۰ و ۷۰°C) بر زمان خشک شدن آلبالو به صورت تک لایه بررسی گردید. برای بررسی سینتیک خشک شدن تیمارها، از مدل‌های رایج در خشک کردن محصولات کشاورزی شامل: مدل‌های نیوتون، پیج، هندرسون-پایس، تقریبی پخش، لگاریتمی، میدیلی و همکاران و مدل دوجمله‌ای استفاده شد. نتایج بدست آمده نشان داد که افزایش دمای خشک کن موجب کاهش معنی دار زمان خشک شدن آلبالوها در تمامی تیمارهای آزمایش گردید. افزایش دما از ۵۰ به ۷۰°C موجب کاهش بیش از ۸۰ درصد زمان خشک شدن آلبالو در تیمار شاهد می‌شود. علاوه بر آن کاربرد پیش تیمارها در کاهش زمان خشک شدن آلبالو بسیار موثر می‌باشد. در بین روش‌های آماده سازی کاربرد آبجوش و نمک بهتر از بقیه بود و در دمای ۵۰°C زمان خشک شدن آلبالو را حدود ۸۳ درصد نسبت به تیمار شاهد کاهش داشت. از نظر مدل سازی فرایند، برای تمام شرایط آماده سازی محصول و تیمار شاهد مدل میدیلی و همکاران (MDM) بهترین برآورد را با داده‌های تیمارهای مختلف داشت. استفاده از پیش تیمارها برای خشک کردن آلبالو موجب کاهش قابل توجه انرژی فعال سازی شده و آن را حدود ۶۵ درصد کاهش می‌دهد و تا بیش از ۴ برابر مصرف انرژی را کم می‌کند.

واژه‌های کلیدی: آلبالو، خشک کردن، انرژی، خشکبار، مدل سازی

مقدمه

آلبالو از جمله میوه‌های مهم مناطق معتدل است. بیشترین مصرف آن در صنایع تبدیلی می‌باشد. آلبالو به فرم‌های مختلف تازه، بخ زده، کسره شده، آب میوه، شور و خشک مصرف می‌شود و به دلیل دشواری نگهداری محصول تازه، مصرف تازه خوری و تبدیل آن به محصولات جانبی سهم بیشتری از مصرف این محصول را به خود اختصاص داده است (عین افسار، ۱۳۸۸). یکی از

رايجترين موارد استفاده اين محصول در ايران، توليد آبالو خشک است که فرآيند توليد آن نياز به بررسی دقیق و انجام تحقیقات بنیادی دارد تا به واسطه آن برای طراحی خشک کن ها و بهینه سازی فرایند خشک کردن آبالو پارامترهای مناسب بدست آيد(زمدی، ۱۳۸۶). آبالو منبع خوبی از آتوسیانین ها است که فعالیت آنتی اکسیدانی و ضد التهابی نيز دارد. فرایند خشک کردن میوه ها و سبزی ها باید سریع و در دمای نسبتاً پایین باشد تا مصرف انرژی و همچنین تجزیه حرارتی ترکیبات تغذیه ای آنها به حداقل برسد. آبالو دارای رطوبت اولیه حدود ۸۰ درصد بر پایه تر می باشد (Tarhan *et al.*, 2006). مطابق استاندارد ملي شماره ۲۳۴۱ آبالو خشک، میوه رسیده و سالم گونه *Prunus cerasus* است که به دو روش آفتانی یا صنعتی، خشک می شود. برای خشک کردن، میوه ها باید درسته، هسته دار، سالم و تمیز باشند و میزان رطوبت آبالو خشک از هر درجه نباید از ۲۵ درصد وزنی بیشتر باشد (بی نام، ۱۳۸۶) در تحقیق دویماز اثر غوطه وری در محلول قلیایی اتیل اولئات بر زمان خشک کردن آبالو در روش خشک کردن تک لایه در دو دمای ۵۵ و ۶۵ درجه سلسیوس و در سرعت جريان هوای ۱ متر بر ثانیه بررسی شد. زمان خشک کردن نمونه های تیمار شده ۲۶-۳۰ درصد کوتاه تر از نمونه های تیمار نشده بود (Doymaz, 2007). ترهان و همکاران تأثیر اعمال همزمان پیش تیمار های حرارتی و غوطه وری در محلول های مختلف را بر کاهش زمان خشک کردن آبالو بررسی کردند. آبالو ها داخل سیده های معمولی در یکی از هشت تیمار ترکیبی غوطه وری در محلول های شیمیایی (۲ درصد اتیل اولئات، ۲ درصد کربنات پتاسیم، ۱ درصد اسید سیتریک، آب) و دمای غوطه وری (۲۳ و ۶۰°C) به مدت یک دقیقه به منظور تسريع خروج رطوبت از پوست با شکستن پوشش موی سطح آبالو غوطه ور شدند. نمونه های آبالو خشک شده، با سه روش مختلف خشک کردن (خشک کنه های گرم، خشک کن خورشیدی، خشک کردن در فضای باز خشک شدن) (Tarhan *et al.*, 2006). آبالوهای تیمار شده با محلول ۲ درصد اتیل اولئات در دمای اتاق (۲۳°C) زودتر از سایر تیمارها خشک شدند. تحقیقات گذشته نشان داد که کاربرد مایکروپلولار و پرس عتخشک شدن آبالو اثر مهندسی دارد و با فرایشن تو ان کاهش فشار محفظه، زمان خشک شدن کاهش می باید. همچنین، مقایسه مدل های مختلف شانداد که مدل می دلی و همکاران میتوانند مناسب ترین مدل برای تخمین سیستیک خشک شدن آبالو باشند (قادری و همکاران، ۱۳۹۰). در تحقیق متولی و همکاران ضریب انتشار رطوبت ویژه آبالو در فرایند خشک کردن با مایکروپلولار خلا در حدود $10^{-9} \times 10^{-3} / 0.05 \times 10^{-9}$ تا 20×10^{-9} تغییر کرد. در تحقیق ایشان میزان انرژی فعال سازی بدست آمده در خشک کن مایکروپلولار خلا برای خشک کردن آبالو بین ۲۲/۲۳ تا ۲۳/۹۱ W/g بدست آمد (متولی و همکاران، ۱۳۸۹). تحقیق حاضر به منظور بررسی اثر اعمال برخی پیش تیمار های رایج و دمای های مختلف بر سیستیک خشک کردن، زمان و تحلیل انرژی لازم برای خشک کردن آبالو، انجام شد. نتایج حاصل از این پژوهش تکمیل کننده تحقیقات پیشین بوده و در راستای کمک به صنعت خشکبار کشور انجام شد.

مواد و روشها

آلبالوی مورد استفاده در تحقیق از محصول برداشت شده از باغات منطقه کرج انتخاب شد. رطوبت اولیه نمونه های آزمایش به وسیله آون در دمای 10.5°C به مدت ۷ تا ۱۰ ساعت اندازه گیری شد(قادری و همکاران، ۱۳۹۰). میزان رطوبت اولیه حدود ۲۷۰ تا ۳۵۰ درصد بر پایه خشک (۷۳ تا ۷۸ درصد بر پایه تر) بدست آمد. به منظور بررسی تاثیرات پیش تیمارهای اولیه در دماهای رایج خشک کردن آلبالو عملیات خشک کردن در محدوده 50°C تا 70°C انجام شد. با استفاده از یک خشک کن آزمایشگاهی دقیق سه واحدی سینی دار قابل اتصال به کامپیوتر (شکل ۱)، تأثیر دمای خشک کردن در سه سطح 50°C ، 60°C و 70°C بر زمان خشک شدن نهایی تیمارهای مشرووحه ذیل تا سطح رطوبت ۲۰ درصد بر پایه خشک (Tarhan *et al.*, 2006) به صورت تک لایه انجام شد:

۱- آلبالوی تازه بدون آماده سازی (تیمار شاهد)

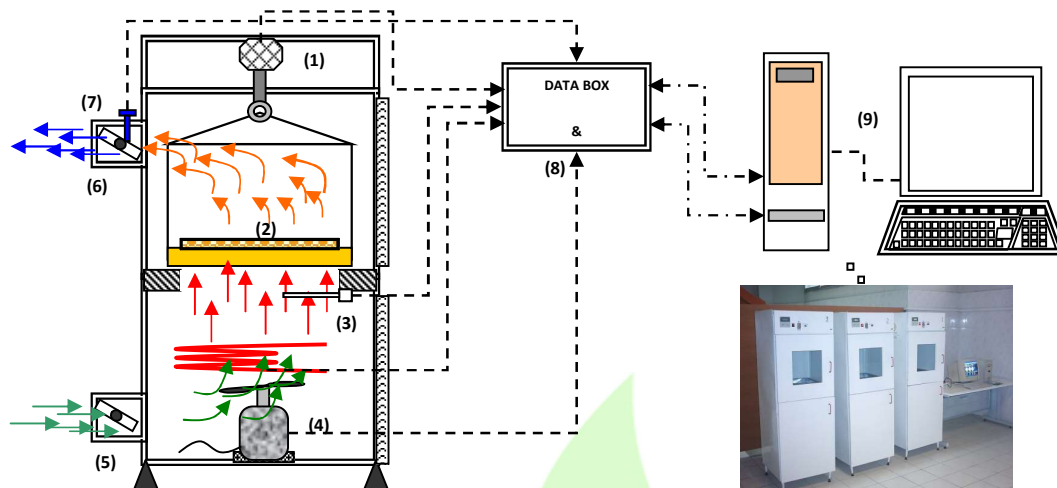
۲- فروبری آلبالوی تازه در محلول ۲ درصد اتیل اولئات (روش متداول آماده سازی در ترکیه) در دمای 25°C به مدت یک دقیقه

۳- فروبری آلبالوی تازه درآب جوش به مدت یک دقیقه

۴- فروبری آلبالوی تازه در محلول ۲۰ درصد نمک طعام در دمای جوش به مدت یک دقیقه

برای مقایسه اثرات پیش تیمارهای اعمال شده از طرح کاملاً تصادفی در سه تکرار استفاده شد. برای هر تیمار آزمایشی حدود ۱۵۰ گرم آلبالوی تازه در نظر گرفته شد. پیش تیمارهای انتخابی بر مبنای روش های متداول صنعتی برای سایر محصولات، استانداردهای جهانی و ملی موجود در زمینه افزودنی های مجاز در صنایع غذایی و همچنین مقالات علمی موجود در این زمینه انتخاب شدند. (Tarhan *et al.*, 2006; Doymaz, 2007; Esmaiili *et al.*, 2007Humphrey *et al.*, 2006;)

جلوگیری از خرابی نمونه ها قبل از خشک کردن، آلبالوهای تازه در محدوده دمایی 4°C در بخشال نگهداری شد. پس از جداسازی دم و برگ و مواد زائد از محصول اصلی آلبالوها با آب تازه شست و شوی داده شده و برای اعمال پیش تیمارهای مورد نظر ربا آبکش های پلاستیکی به مدت ۱۰ دقیقه آبگیری شدند. سپس آماده سازی برای هر تیمار انجام و آلبالوهای تیمار شده به وسیله خشک کن در دماهای مورد نظر خشک شدند. در خشک کن مورد استفاده در تحقیق تغییرات دمای ورودی که به وسیله دما سنج دیجیتال آتبین مدل AT400-K با دقت 1°C تنظیم و ثبت می گردید. همچنین تغییرات وزن با دقت ۱ گرم و دمای خروجی با دقت 1°C بصورت خودکار توسط سیستم جمع آوری داده ها از بازه های زمانی ۱۵ دقیقه ای از خشک کن به کامپیوتر منتقل می گردید. با استفاده از یک باد سنج سیم داغ ساخت شرکت TESTO آلمان، سرعت جابجایی هوای گرم در خروجی هوای خشک کن ها اندازه گیری و تنظیمات لازم به وسیله کاوهنده دور فن اعمال شد. مقدار اندازه گیری شده سرعت هوا ۱ متر بر ثانیه بود.



(۱) لود سل، (۲) سینی حاوی نمونه، (۳) حسگر هوای ورودی به محصول، (۴) موتور DC، (۵) دریچه هوای ورودی، (۶) دریچه هوای خروجی، (۷) حسگر دمای هوای خروجی، (۸) کارت اخذ اطلاعات و کنترل کننده (۹) کامپیوتر

شکل ۱ - شماتیک خشک کن مورد استفاده در تحقیق

در این تحقیق علاوه بر دستیابی به منحنی‌های تغییرات رطوبت، سیستمیک خشک شدن و مدلسازی مربوطه برای آلبالو در دماهای مختلف خشک شدن، مدت زمان لازم برای رسیدن به رطوبت مجاز و مورد نظر (محدوده ۱۶ تا ۱۸ درصد بر پایه خشک) بررسی شد (Doymaz, 2007; Tarhan *et al.*, 2006).

$$MR = \frac{M_t - M_e}{M_o - M_e}$$

برای مدل سازی فرایند خشک شدن از نسبت رطوبت (Doymaz, 2007; Tarhan *et al.*, 2006) می‌باشد:

استفاده شد که در این رابطه:

M_t = رطوبت در لحظه t (kg/kg, d.b) و M_0 = رطوبت اولیه (kg/kg, d.b) و M_e = نسبت رطوبت (بدون بعد)

(Akpinar *et al.*, 2003; Doymaz, 2007) می‌باشد (kg/kg, d.b)

بدلیل تغییرات موجود در رطوبت نسبی هوای داخل خشک کن مشابه با تحقیقات دیگر از مقدار M_e در رابطه نسبت رطوبت صرف

نظر می‌شود و معادله بصورت $MR = \frac{M_t}{M_o}$ در نظر گرفته می‌شود (Goyal *et al.*, 2007; Doymaz, 2007). به منظور مدل

سازی نسبت رطوبت (MR) آلبالو در فرایند خشک شدن بصورت تک لایه از مدل‌های شناخته شده که کاربرد زیادی در خشک

کردن محصولات مختلف کشاورزی داردند به شرح جدول ۱ استفاده شد (Midili *et al.*, 2002; Akpinar *et al.*, 2003;

Akpinar and Bicer, 2006; Doymaz, 2007). مدل‌های رگرسیونی تغییرات نسبت رطوبت در طی فرایند خشک شدن، براساس

متغیر مستقل زمان حل و از سه معیار ضریب تعیین (R^2), مریع کای یا χ^2 و ریشه متوسط مربع خطای داده‌ها

(Akpinar and Bicer, 2006; Root Mean Square Error(RMSE) به شرح زیر برای سنجش بهترین مدل استفاده شد. (Akpinar and Bicer, 2006;

:Doymaz, 2007)

جدول ۱ – مدل‌های مورد استفاده در خشک شدن لایه نازک آبalo

نام مدل	# معادله
Newton (NM)	$MR = \exp(-kt)$
Page (PM)	$MR = \exp(-k^n)$
Henderson and Pabis (HPM)	$MR = a \exp(-kt)$
Two term exponential (TEM)	$MR = a \exp(-kt) + (1-a) \exp(-kat)$
Approximate Diffusion (ADM)	$MR = a \exp(-kt) + (1-a) \exp(-kt)$
Logarithmic (LM)	$MR = a \exp(-kt) + b$
Midili et al. (MDM)	$MR = a \exp(-kt^n) + bt$

نسبت رطوبت، زمان t ، a ، b و n ثابت‌های مدل‌ها می‌باشند.

$$\chi^2 = \frac{\sum_{i=1}^n (MR_{\text{exp},i} - MR_{\text{pre},i})^2}{N-n} \quad (1)$$

$$RMSE = \left[\frac{1}{N} \sum_{i=1}^n (MR_{\text{pre},i} - MR_{\text{exp},i})^2 \right]^{1/2} \quad (2)$$

در معادلات بالا، $MR_{\text{exp},i}$ نسبت رطوبت آبalo مشاهده شده در i امین اندازه‌گیری، $MR_{\text{pre},i}$ نسبت رطوبت آبalo پیش‌بینی شده از مدل در i امین اندازه‌گیری، N تعداد مشاهدات (داده‌ها) و n تعداد ثابت‌های بکار رفته در معادله است.

برای مدل سازی فرایند خشک کردن آبalo از نسخه ۰/۶ نرم افزار Statistic استفاده شد. مقدار ضرایب و ثابت‌های مدل‌های مورد آزمون در شرایط مختلف آزمایش به روش رگرسیون محاسبه شد و برای هر مدل، ضرایب و ثابت‌ها براساس متغیرهای مستقل دما و پیش‌تیمارها در خشک کن بدست آمد (Akpinar and Bicer, 2006). برای محاسبه ضریب نفوذ موثر در هر کدام از تیمارها شعاع میانگین برای هر تیمار محاسبه شد و برای تعیین ضریب نفوذ مورد استفاده قرار گرفت. با استفاده کولیس ورنیه با دقت mm برای هر کدام از تیمارهای آزمایش در ۱۰ تکرار، سه بعد c , b , a دانه‌های آبalo را در دو حالت تازه و خشک شده اندازه ۰/۰/۰. در این تحقیق قطر میانگین (d_g) برای آبaloی تازه $13/40\text{ mm}$ بدست آمد.

$$d_g = (a.b.c)^{\frac{1}{3}} \quad (3)$$

در این رابطه $d_g =$ قطر میانگین آبalo a = قطر بزرگ آبalo b = قطر متوسط آبalo c = قطر کوچک آبalo (m).

پس از محاسبه شعاع هندسی، ضریب نفوذ موثر رطوبت در آبalo (D_{eff}) (از حل معادله فیک برای اجسام کروی شکل به شرح رابطه (۴) بدست آمد) (Doymaz, 2007; Falade & Abbo, 2007 ; Mujumdar, 2000).

$$MR = \frac{M_t - M_e}{M_o - M_e} = \frac{6}{\pi^2} \exp \left[-\frac{\pi^2 D_{eff} t}{r^2} \right] \quad (4)$$

در این معادله MR = نسبت رطوبت (بدون بعد) = M_t (kg/kg, d.b) = رطوبت در لحظه t = M_e (kg/kg, d.b) = رطوبت اولیه = M_0 (kg/kg, d.b)

$$\text{ضریب نفوذ موثر} = D_{eff} \text{ (kg/kg, d.b)} = \text{زمان} (s) = t \text{ (m}^2/\text{s)}$$

با استفاده از ضریب زاویه خط ترسیم شده داده های $\ln \frac{M_t - M_e}{M_o - M_e}$ بر حسب زمان (ثانیه) و شاعع میانگین هر دانه ضریب

نفوذ موثر (D_{eff}) مربوطه بدست آمد. با توجه به تابعیت ضریب نفوذ با دما، برای تعیین انرژی فعال سازی رطوبت از رابطه

آرینیوس (۵) استفاده شد (Falade & Abbo, 2007, Mujumdar, 2000).

جدول ۲- متوسط قطر و شاعع میانگین بدست آمده آلبالو برای هر کدام از تیمارهای آزمایش

متیمارهای آزمایش			میانگین قطر هندسی پس از خشک شدن (d _e)			متیمارهای آزمایش			میانگین قطر هندسی پس از خشک شدن (d _r)		
دما	دما	دما	دما	دما	دما	دما	دما	دما	دما	دما	دما
۷۰°C	۶۰ °C	۵۰ °C	۷۰°C	۶۰ °C	۵۰ °C	۷۰°C	۶۰ °C	۵۰ °C	۷۰°C	۶۰ °C	۵۰ °C
۵/۵۵۰	۵/۸۲۷	۵/۸۳۸	۱۱/۱۰۰	۱۱/۶۵۳	۱۱/۶۵۷	۸/۸۰۰	۹/۹۰۶	۹/۹۵۰	بدون پیش تیمار		
۵/۵۶۲	۵/۶۹۳	۵/۷۲۲	۱۱/۱۲۴	۱۱/۳۸۵	۱۱/۴۴۴	۸/۸۴۹	۹/۳۶۹	۹/۴۸۷	پیش تیمار در انبیل اولنات		
۵/۸۲۶	۵/۸۵۱	۶/۰۵۲	۱۱/۶۵۱	۱۱/۷۰۲	۱۲/۱۰۴	۹/۹۰۳	۱۰/۰۰۳	۱۰/۸۰۷	پیش تیمار در آب جوش		
۵/۷۲۰	۵/۷۳۹	۵/۸۶۶	۱۱/۴۵۹	۱۱/۴۷۸	۱۱/۷۳۱	۹/۵۱۹	۹/۵۵۷	۱۰/۰۶۲	پیش تیمار در محلول آب جوش و نمک طعام		

$$D_{eff} = D_o \exp \frac{-E_a}{RT} \quad (5)$$

در این رابطه D_{eff} = ضریب نفوذ موثر (m^2/s) = ضریب نفوذ در دما E_a (m^2/s) = انرژی فعال سازی (kJ/kg.mol) = R = ثابت جهانی

$$(K) \text{ (دما)} = T \text{ (8.314 J/mol.K)}$$

انرژی فرایند خشک کردن

برای محاسبه انرژی ویژه مورد نیاز برای خشک کردن هر یک کیلو گرم آلبالو در هر تیمار از رابطه انرژی الکتریکی مصرفی در خشک کن (هیتر + فن) استفاده می شود. برای این منظور ابتدا با استفاده از یک آمپر متر مقدار جریان عبوری از سیستم را در زمان روشن بودن هیتر اندازه گیریم کنیم. مقدار جریان مصرفی هیتر در خشک کن ۹ آمپر بدست آمد. برای اندازه گیری انرژی مصرفی فن در خشک کن نیز شدت جریان مصرفی ۲ آمپر اندازه گیری شد. با استفاده از جدول مشخصات فنی فن مقدار

$\cos\phi = 0.95$ در نظر گرفته شد. زمان درنظر گرفته شده در فرمول مدت زمان روش بودن فن (زمان خشک شدن هر تیمار) در نظر گرفته شد. برای هر تیمار از رابطه (۶) انرژی الکتریکی مصرفی بر حسب کیلووات ساعت بدست آمد (بدیعی، ۱۳۷۱). پس از آن مقدار انرژی مصرفی برای هر کدام تیمارها محاسبه شده و با توجه به مقدار وزن اولیه آبالو و وزن آب تبخیر شده در تیمار، مقدار انرژی ویژه مورد نیاز برای خشک کردن یک کیلو گرم آبالو بر حسب (KWh/KgH₂O) در هر تیمار محاسبه شد (Sharma and Prasad, 2006; Koyucu et al., 2012; Jindarat et al., 2011).

$$W = P_1 \times h_1 + P_2 \times h_2 = (V \times I) \times h_1 + ((V \times I) \times \cos \varphi) \times h_2 \quad (6)$$

در این رابطه: W = انرژی الکتریکی (KWh)، P_1 = توان الکتریکی هیتر (kW)، P_2 = ولتاژ برق شهر (v)، I = شدت جریان الکتریکی (A)، h = زمان (h).

نتایج و بحث

سینتیک فرایند خشک کردن

نتایج تجزیه واریانس تاثیر تغییرات دما و آماده سازی تیمارها بر روی زمان خشک کردن آبالو در جدول ۳ ارائه شده است. نتایج بدست آمده نشان می دهد که پارامترهای دما و آماده سازی محصول تاثیر بسیار معنی داری روی زمان خشک شدن آبالو دارند. همچنین اثر مقابل دو پارامتر ذکر شده بر روی شاخص زمان خشک شدن آبالو نیز بسیار معنی دار می باشد. مقایسه میانگین تاثیر عامل دما بر زمان خشک شدن آبالو بصورت جدول ۴ ارائه شده است. همانگونه که در جداول ملاحظه می شود تغییرات دما تاثیر بسیار قابل ملاحظه ای بر زمان خشک شدن آبالو داشته است. این افزایش دما از ۵۰°C به ۶۰°C و ۷۰°C به ترتیب ۰/۴ و ۰/۵ درصد زمان خشک شدن را کاهش داده است. افزایش دما از ۶۰°C به ۷۰°C نیز ۰/۴ درصد زمان خشک شدن آبالو را کم می کند. این بدان معنی است که افزایش دما موجب ایجاد انرژی گرمایی بیشتر در محیط شده و آهنگ خشک شدن ماده را سریعتر می کند. در نتیجه ماده زودتر خشک می شود. البته لازم بذکر است با افزایش دمای خشک کن نرخ کاهش زمان خشک شدن الزاماً خطی نبوده و معمولاً در دماهای بالاتر تاثیر افزایش دما نسبت به دماهای پائین تر کمتر است زیرا نرخ حرکت (نفوذ) رطوبت در داخل مواد محدود بوده و الزاماً با افزایش دما بصورت خطی زیاد نمی شود. این محدودیت در دماهای بالا بدیل چروکیدگی سطحی و بسته شدن روزنه های انتقال رطوبت بیشتر شده و ملاحظه می شود از یک دما به بالا علیرغم صرف انرژی بیشتر کاهش زمان کمتری نسبت به دماهای قبلی مشاهده می شود. (Mujumdar, 2000).

جدول ۳-نتایج تجزیه واریانس زمان خشک شدن آلبالو در شرایط مختلف آزمایش

میانگین مربعات (MS)	درجه آزادی (df)	منابع تغییرات	
		زمان خشک شدن	(SOV)
۴۳۸۹/۴۰**	۲		دما
۴۵۶۱/۸۲**	۳		آماده سازی محصول
۱۵۵۹/۵۴**	۶		دما × آماده سازی محصول
۰/۷۴	۲۴		خطا
	۳۵		کل
۰/۸۲		CV	

** وجود اختلاف معنی دار در سطح احتمال ۱%

جدول ۴- مقایسه میانگین های تاثیر دما بر زمان خشک شدن آلبالو در شرایط مختلف آماده سازی*

زمان خشک شدن (h)	دما (°C)
۴۷/۶۷ ^b	۵۰
۲۰/۰۰ ^a	۶۰
۱۰/۹۶ ^a	۷۰

* میانگین های دارای حروف مشابه دارای اختلاف معنی داری در سطح ۵٪ نمی باشند.

مقایسه میانگین تاثیر عامل آماده سازی محصول برای دماهای مختلف آزمایش بر زمان خشک شدن آلبالو نیز در جدول ۵ ارائه شده است. همانگونه که در جدول مشخص است تاثیر آماده سازی بر کاهش زمان خشک شدن آلبالو بسیار بارز بوده و فرو بری در اتیل اولنات ، آب جوش و محلول نمک طعام در حال جوش ، زمان خشک شدن محصول را به ترتیب ۷۸/۶۶ و ۷۲/۰۸، ۷۴/۲۲ و ۴۷/۶۷ درصد نسبت به خشک شدن تیمار شاهد (بدون آماده سازی اولیه) کاهش می دهد. این بدان معنی است که بکار گیری محلولهای پیش تیمار برای آماده سازی محصولاتی نظیر آلبالو، گیلاس، انگور، آلو و میوه های نظیر آنها موجب ایجاد ترکهای سطحی روی پوسته خارجی شده و سرعت خروج رطوبت را از محصول را بیشتر کرده و محصول در زمان کوتاهتری خشک می شود، (Doymaz, 2004; Doymaz, 2007; Esmaiili et al., 2007)

جدول ۵- مقایسه میانگین های تاثیر آماده سازی اولیه بر زمان خشک شدن آبالو برای شرایط مختلف دما*

آماده سازی	زمان خشک شدن(h)
آبالوی تازه بدون آماده سازی (تیمار شاهد)	۵۹/۸۹ ^b
فروبری آبالوی تازه در محلول ۲ درصد اتیل اولئات در دمای محیط به مدت یک دقیقه	۱۵/۴۴ ^a
فروبری آبالوی تازه در آب جوش به مدت یک دقیقه	۱۶/۷۲ ^a
فروبری آبالوی تازه در محلول ۲۰ درصد نمک طعام در دمای جوش به مدت یک دقیقه	۱۲/۷۸ ^a

* میانگین های دارای حروف مشابه دارای اختلاف معنی داری در سطح ۵٪ نمی باشند.

مقایسه میانگین زمان خشک شدن آبالو تیمارهای مختلف تحقیق در جدول ۶ ارائه شده است. جدول ۶ نشان می دهد که بیشترین زمان خشک شدن آبالو مربوط به تیمار بدون آماده سازی (شاهد) و دمای خشک کردن 50°C و کمترین زمان فرایند برای کاربرد پیش تیمار آماده سازی با آب نمک در حال جوش و دمای خشک کردن 70°C می باشد. نتایج بدست آمده حاکی از آن است که کاربرد پیش تیمار آماده سازی در کاهش زمان بسیار موثر است و در تمام دماهای آزمایش بطور متوسط از حدود ۴۹ درصد در دمای 70°C درجه، ۷۱ درصد در دمای 50°C و تا حدود 80°C زمان خشک شدن آبالو را کم می کند. از این روند می توان نتیجه گرفت که تاثیر کاربرد پیش تیمار در دماهای کمتر بر روی کاهش زمان خشک شدن بیشتر می باشد. در بین روش های آماده سازی کاربرد آب نمک در حال جوش بهتر از بقیه بود و تاثیر آن در دمای 50°C زمان خشک شدن را تا ۸۳/۱۵ درصد کاهش می دهد. بعد از آن کاربرد اتیل اولئات برای آماده سازی آبالو قابل توصیه می باشد اگر چه با پیش تیمار فرو بری آبالو در آب جوش در اغلب موارد اختلاف معنی داری ندارد. نحوه تاثیر پیش تیمارهای آماده سازی بر روی تعییرات سیستیک خشک شدن آبالو در دماهای آزمایش در شکل های ۳، ۴ و ۵ نشان داده شده است.

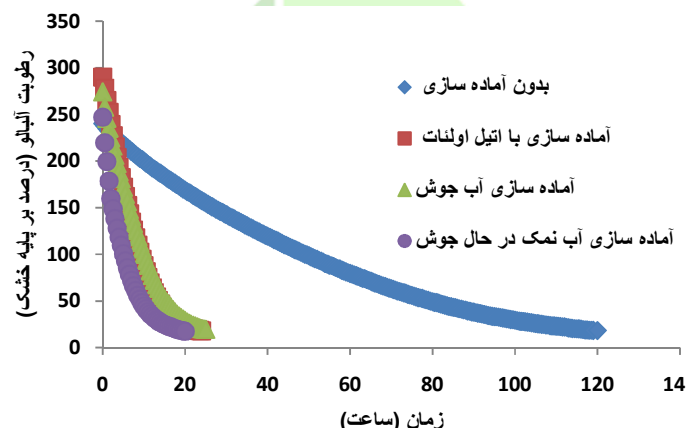
جدول ۶- مقایسه میانگین های زمان خشک شدن آبالو (h)*

آماده سازی اولیه	دما (°C)
بدون آماده سازی (شاهد)	۱۷/۳۳ ^d
فروبری آبالوی تازه در محلول ۲ درصد اتیل اولئات در دمای محیط به مدت یک دقیقه	۴۲/۶۷ ^h
فروبری آبالوی تازه در آب جوش به مدت یک دقیقه	۱۱۹/۶۷ ⁱ
فروبری آبالوی تازه در محلول درصد نمک طعام در دمای جوش به مدت یک دقیقه	۲۶/۶۷ ^g
۲۰ فروبری آبالوی تازه در محلول درصد نمک طعام در دمای جوش به مدت یک دقیقه	۲۰/۱۷ ^e
۷/۶۷ ^a	۱۰/۵۰ ^b

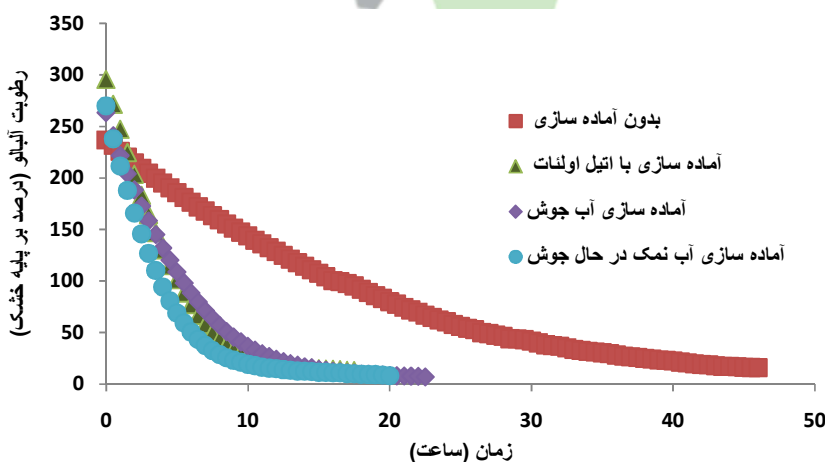
* میانگین های دارای حروف مشابه دارای اختلاف معنی داری در سطح ۵٪ نمی باشند.

مدل سازی فرایند خشک کردن

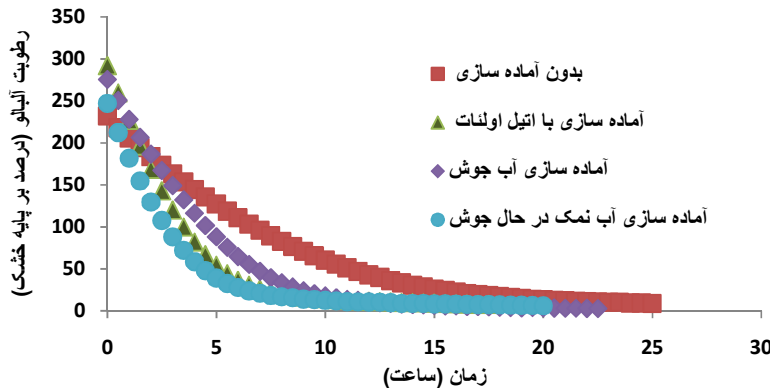
نتایج مدل سازی فرایند خشک کردن آلبالو و متوسط شاخصهای ارزیابی مدل ها در دماهای مورد آزمون برای تمام شرایط آماده سازی محصول و تیمار شاهد در جدول ۷ ارائه شده است. با توجه به جدول ارائه شده ملاحظه می شود که برای تمام شرایط آماده سازی محصول و تیمار شاهد مدل میدیلی و همکاران (MDM) بهترین برازش را با داده های تیمارهای مختلف دارد. پس از مدل لگاریتمی (LM) در اغلب موارد برازش مناسبی داشته و می تواند مدل دوم برای بررسی سیستمی خشک شدن آلبالو پیشنهاد شود. نتایج بدست آمده در تحقیقات گذشته هم برای خشک کردن آلبالو تأیید شده است (Doymaz, 2007) (قادری و همکاران، ۱۳۹۰). همچنین در جدول ۸ ضرایب بدست آمده هر کدام از مدل ها در دماهای آزمایش و پیش تیمارهای مختلف ارائه شده و در شکل های ۵ تا ۷ نمونه هایی از برازش مدل های میدیلی و لگاریتمی با داده های آزمایش در دمای های مختلف آزمایش نشان داده شده است.



شکل ۲- تاثیر پیش تیمارها بر تغییرات رطوبت آلبالو در دمای 50°C



شکل ۳- تاثیر پیش تیمارها بر تغییرات رطوبت آلبالو در دمای 60°C



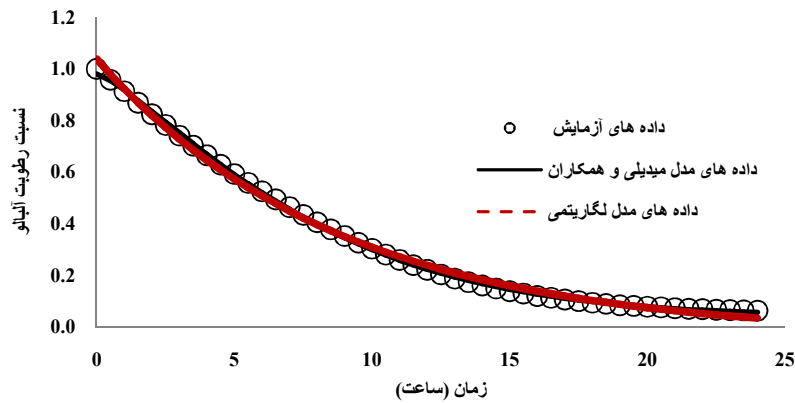
شکل ۴- تأثیر پیش تیمارها بر تغییرات رطوبت آبالو در دمای ۷۰°C

جدول ۷- مقایسه مدل مورد استفاده در خشک کردن آبالو با پیش تیمارهای مختلف

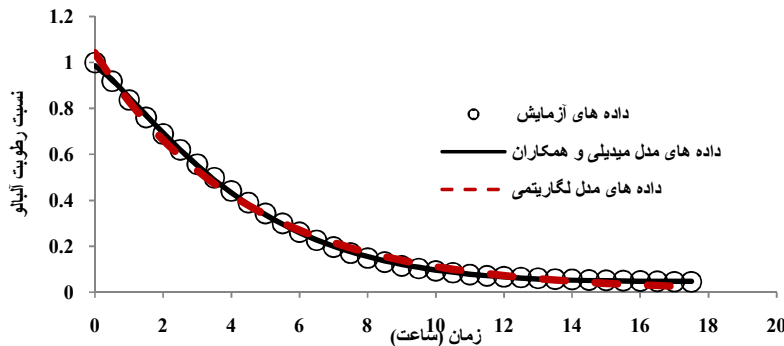
مدل	بدون پیش تیمار (شاهد)												پیش تیمار آبجوش و نمک			پیش تیمار آبجوش		
	R ²	X ²	RMSE	R ²	X ²	RMSE	R ²	X ²	RMSE	R ²	X ²	RMSE	R ²	X ²	RMSE	R ²	X ²	RMSE
نیوتون (NM)	0.9920	0.0004	0.0069	0.9950	0.0004	0.0084	0.9930	0.0005	0.0094	0.9947	0.0004	0.0138						
(PM) بیج	0.9952	0.0003	0.0068	0.9988	0.0001	0.0042	0.9970	0.0003	0.0058	0.9988	0.0004	0.0066						
هندرسون و پائیس (HPM)	0.9936	0.0004	0.0082	0.9953	0.0001	0.0043	0.9952	0.0004	0.0078	0.9952	0.0003	0.0118						
دو جمله ای (TEM) نمایی	0.9954	0.0003	0.0067	0.9990	0.0001	0.0038	0.9971	0.0003	0.0057	0.9941	0.0004	0.0134						
تقریبی (ADM) انتشار	0.9968	0.0002	0.0056	0.9977	0.0002	0.0055	0.9952	0.0004	0.0076	0.9977	0.0002	0.0086						
لگاریتمی (LM)	0.9980	0.0001	0.0045	0.9970	0.0002	0.0054	0.9959	0.0003	0.0073	0.9987	0.0001	0.0058						
میدلی و همکاران (MDM)	0.9991	0.0001	0.0030	0.9994	0.0001	0.0030	0.9996	0.0001	0.0024	0.9996	0.0001	0.0038						

جدول ۸- ضرایب مدل های میدلی و همکاران و لگاریتمی در خشک کردن آلبالو

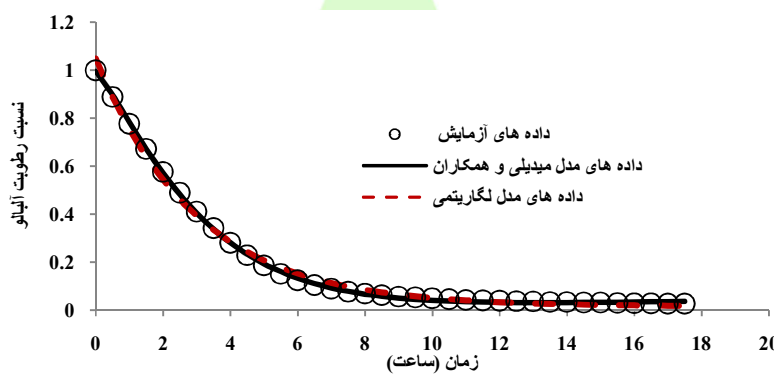
مدل لگاریتمی (LM)			مدل میدلی و همکاران (MDM)				دهماهی آزمایش (°C)	پیش تیمارها
a	b	k	a	b	n	k		
۱/۱۲۱۳۶۴	-۰/۱۳۰۴۴۴	۰/۰۱۴۷۹۹	۰/۹۷۸۰۵۲۲	-۰/۰۰۰۴۷۰	۱/۰۶۶۹۶۷	۰/۰۱۲۷۶۱	۵۰	بدون پیش تیمار(شاهد)
۱/۰۷۵۵۳۸	-۰/۰۵۷۸۶۲	۰/۰۴۹۹۰۴	۰/۹۸۳۹۱۰	-۰/۰۰۰۸۷	۱/۱۵۱۱۹۸	۰/۰۳۴۵۳۴	۶۰	
۱/۰۵۰۳۰۹	-۰/۰۲۵۸۰۶	۰/۰۱۲۷۷۰۲	۰/۹۷۷۲۶۱	-۰/۰۰۰۶۶۴	۱/۱۹۱۰۱۰	۰/۰۸۷۳۴۷	۷۰	
۱/۰۷۵۲۲۷	-۰/۰۳۷۰۹۰	۰/۱۱۳۳۶۲	۰/۹۸۱۱۹۴	-۰/۰۰۱۳۱۵	۱/۰۵۴۶۹۸	۰/۰۶۸۶۲۳	۵۰	اتیل اولنات
۱/۰۳۸۸۶۹	-۰/۰۰۴۲۲۰	۰/۲۲۷۲۱۳	۰/۹۸۵۷۶۰	-۰/۰۰۲۳۴۵	۱/۲۳۱۲۶۸	۰/۱۵۳۱۵۹	۶۰	
۱/۰۳۵۱۱۷	-۰/۰۱۴۲۸۷	۰/۲۳۵۷۵۱	۰/۹۹۵۳۷۷	-۰/۰۰۲۰۵۳	۱/۰۲۰۴۳۹۱	۰/۲۴۳۸۹۱	۷۰	
۱/۰۶۳۷۳۵	-۰/۰۵۶۳۲۷	۰/۰۹۳۱۷۹	۰/۹۶۷۴۹۳	-۰/۰۰۰۵۷۸	۱/۱۹۱۷۰۰	۰/۰۶۴۹۳۳	۵۰	آجگوش
۱/۰۲۶۰۶۰	-۰/۰۰۲۲۶۰	۰/۱۸۷۳۷۸	۰/۹۹۶۲۱۰	-۰/۰۰۰۵۲۷	۱/۰۹۷۲۸۲	۰/۱۵۵۶۸۰	۶۰	
۱/۰۵۶۶۹۲	-۰/۰۰۰۸۵۸۳	۰/۲۳۸۶۵۶	۰/۹۸۰۹۱۹	-۰/۰۰۰۵۹۸	۱/۲۴۷۴۰۷	۰/۱۵۴۶۹۵	۷۰	
-۰/۹۲۲۳۴۰	-۰/۰۵۲۴۴۲	۰/۱۹۶۰۳۸	۱/۰۱۲۵۵۶	-۰/۰۰۰۷۱۹	۰/۰۵۹۱۲۱	۰/۲۳۶۴۸۶	۵۰	آجگوش و نمک
۱/۰۰۵۸۱۷	-۰/۰۲۴۹۵۶	۰/۲۸۶۴۶۴	۰/۹۹۰۷۸۵	-۰/۰۰۲۰۰۲	۱/۱۳۴۲۲۵	۰/۲۲۵۷۹۱	۶۰	
۱/۰۰۸۲۱۶	-۰/۰۲۴۸۰۰	۰/۳۷۶۹۹۰	۱/۰۰۱۱۳۱	-۰/۰۰۱۹۲۱	۱/۰۹۹۱۱۵	۰/۳۱۳۲۹۸	۷۰	



شکل ۵- برآورد داده های آزمایش با مدل های انتخابی در دمای ۵۰°C (پیش تیمار اتیل اولنات)



شکل ۶-برازش داده های آزمایش با مدل های انتخابی در دمای 60°C (پیش تیمار اتیل اولنات)



شکل ۷-برازش داده های آزمایش با مدل های انتخابی در دمای 70°C (پیش تیمار اتیل اولنات)

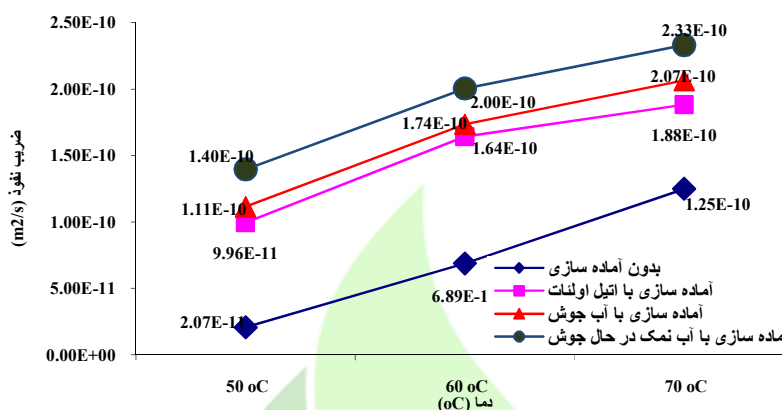
تعیین ضریب نفوذ موثر و انرژی فعال سازی

برای تعیین انرژی فعال سازی رطوبت در فرایند خشک کردن آلبالو ابتدا ضریب نفوذ موثر رطوبت (D_{eff}) را با استفاده از حل معادله فیک برای اجسام کروی بدست می‌آید. تغییرات ضرایب نفوذ موثر بدست آمده برای هر کدام از تیمارهای آزمایش در دماهای تحقیق بشرح شکل ۸ می‌باشد. همانگونه که در شکل مشخص است در تمام تیمارهای آماده سازی محصول با افزایش دما خشک کردن متوسط انتشار پذیری موثر رطوبت در محصول دارای روندی افزایشی بوده برای خشک کردن آلبالو با روش‌های مختلف آماده سازی در محدوده دمایی 50°C تا 70°C ضریب نفوذ موثر رطوبت در محدوده $2/07 \times 10^{-11}$ تا $2/33 \times 10^{-11}$ متر مربع ثانی متفاوت است. بررسی‌ها نشان داد که مقادیر بدست آمده با تحقیقات گذشته در مورد محصولات مشابه همخوانی دارد. البته لازم تغییر می‌کند. بررسی‌ها نشان داد که مقادیر جزئی مشاهده شده نوع محصول، پیش تیمارها و نوع خشک کردن و محدوده دمایی مورد استفاده بود. ذکر است دلیل اختلافات جزئی مشاهده شده نوع محصول، پیش تیمارها و نوع خشک کردن و محدوده دمایی مورد استفاده بود. با استفاده از ضریب نفوذ موثر رطوبت بدست آمده برای متولی و همکاران، Esmaili et al., 2007; Doymaz, 2007؛ تیمارهای آزمایش در دماهای مختلف، انرژی فعال سازی بدست آمده در محدوده دمایی 50°C تا 70°C برای تیمارهای آزمایش

بدست آمد که مقایسه نتایج بدست آمده به صورت شکل ۹ ارائه شده است. همانگونه که در شکل مشخص است استفاده از پیش

تیمارها برای خشک کردن آلبالو موجب کاهش توجه انرژی فعال سازی شده و آن را از محدوده ۸۳ به ۲۳ KJ/mol

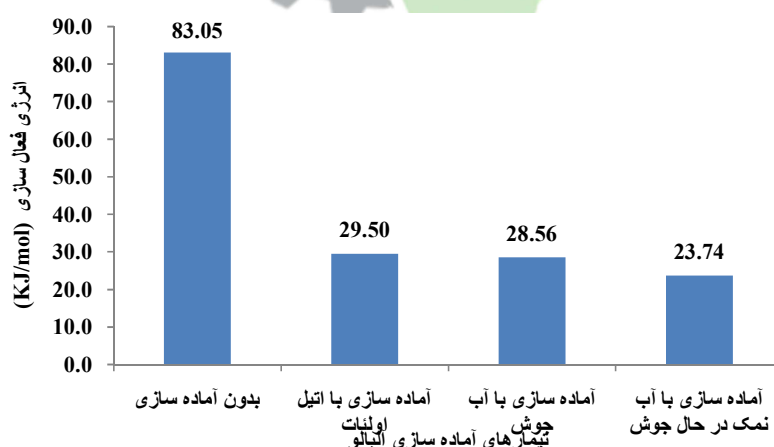
کاهش می دهد که در بین پیش تیمارها تاثیر آب نمک در حال جوش بارزتر می باشد.



شکل ۸- ضرایب نفوذ موثر در شرایط دمایی و آماده سازی محصول در تحقیق

انرژی فرایند خشک کردن

همانگونه که در بخش مواد و روشها ذکر شد، برای محاسبه انرژی ویژه مورد نیاز برای خشک کردن هر یک کیلو گرم آلبالو در هر تیمار از رابطه انرژی الکتریکی مصرفی در خشک کن (هیتر + فن) استفاده شد. با استفاده از آن رابطه مقدار انرژی مصرفی برای هر کدام تیمارها محاسبه شده و با توجه به مقدار وزن اولیه آلبالو و وزن آب تبخیر شده در تیمار، مقدار انرژی ویژه مورد نیاز برای خشک کردن یک کیلو گرم آلبالو بر حسب (KWh/KgH₂O) در هر تیمار محاسبه شد. نتایج انرژی الکتریکی مصرفی و انرژی ویژه محاسبه شده برای خشک کردن آلبالو در شرایط مختلف آزمایش بصورت جدول ۹ ارائه شده است.



شکل ۹- مقایسه انرژی فعال سازی در فرایند خشک کردن آلبالو در محدوده دمایی ۵۰- ۷۰ °C

همانگونه که در جدول مشخص خشک کردن آبالو بدون اعمال پیش تیمار انرژی زیادی طلب می کند در حالیکه اگر قبل از خشک کردن آماده سازی مقدماتی انجام گیرد در حدود ۴ برابر و بیشتر از مصرف انرژی جلوگیری کرده و همانطور که قبلاً اشاره شد زمان خشک کردن را کاهش می دهد. بیشترین کاهش مصرف انرژی برای دمای 50°C مربوط به کاربرد پیش تیمار اتیل اولئات بوده که در حدود ۸۳ درصد انرژی ویژه خشک کردن آبالو را کاهش داد. پس از آن کاربرد پیش نیمار ترکیبی آبحوش و نمک موجب کاهش $79/2$ درصد انرژی ویژه مصرفی برای خشک کردن آبالو شد. لازم بذکر است در حالتی که آبالو را در دماهای بالاتر خشک می شود تاثیر پیش تیمارها کمتر می شود. دلیل این مسئله افزایش عامل گرما در دماهای بالا عنوان منبع اصلی انرژی برای تغیر رطوبت می باشد. مشابه نتایج بدست آمده در مورد محصولات مختلف نیز مشاهده شده است (Sharma and Prasad, 2006; Koyucu et al., 2012 ; Jindarat et al., 2011)

جدول ۹- کار الکتریکی و انرژی ویژه خشک کردن آبالو تیمارهای مختلف آزمایش

پیش تیمارهای آزمایش	دماهای آزمایش ($^{\circ}\text{C}$)	انرژی الکتریکی کل برای تیمارها (KWh)	انرژی ویژه مصرفی خشک کردن یک کیلوگرم آبالو تیمار (KWh/kg)
بدون آماده سازی (شاهد)	۵۰	۱۲۰/۷۴	۶۲/۸۸
بدون آماده سازی (شاهد)	۶۰	۴۳/۰۹	۲۷/۰۷
بدون آماده سازی (شاهد)	۷۰	۲۹/۶۷	۲۲/۹۱
اتیل اولئات	۵۰	۲۴/۱۵	۱۰/۶۱
اتیل اولئات	۶۰	۱۳/۰۳	۶/۸۴
اتیل اولئات	۷۰	۱۵/۷۱	۸/۰۶
آب جوش	۵۰	۲۷/۱۷	۲۴/۰۰
آب جوش	۶۰	۱۴/۰۳	۶/۴۴
آب جوش	۷۰	۱۷/۴۵	۸/۰۳
آب جوش و نمک	۵۰	۲۰/۱۲	۱۳/۰۹
آب جوش و نمک	۶۰	۱۱/۰۲	۷/۰۴
آب جوش و نمک	۷۰	۱۳/۹۶	۹/۲۱

نتیجه گیری و پیشنهادات

نتایج بدست آمده نشان داد که افزایش دمای خشک کن موجب کاهش معنی دار زمان خشک شدن آبالوها در تمامی تیمارهای آزمایش می گردد. این تاثیر برای تیمار شاهد مشهود تر می باشد. افزایش دما از 50°C به 70°C موجب کاهش پیش از 80°C زمان خشک شدن می شود. از نتیجه آزمایشات انجام شده تحقیق می توان نتیجه گرفت که تاثیر کاربرد پیش تیمار در دماهای

کمتر بر روی کاهش زمان خشک شدن بیشتر می‌باشد. در بین روش‌های آماده سازی کاربرد آجبوش و نمک بهتر از بقیه بود و در دمای 50°C زمان خشک شدن آلبالو را حدود ۸۳ درصد نسبت به تیمار شاهد کاهش می‌دهد. از نظر مدل سازی فرایند، برای تمام شرایط آماده سازی محصول و تیمار شاهد مدل میدیلی و همکاران (MDM) بهترین برآنش را با داده‌های تیمارهای مختلف داشت. نتایج نشان داد که استفاده از پیش تیمارها برای خشک کردن آلبالو موجب کاهش قابل توجه انرژی فعال سازی شده و آن را حدود ۶۵ درصد کاهش می‌دهد. این تاثیر برای پیش تیمار آب نمک در حال جوش بازتر بود. اگر قبل از خشک کردن آلبالو آماده سازی مقدماتی انجام گیرد زمان خشک کردن کم شده و بیش از ۴ برابر مصرف انرژی کاهش پیدا می‌کند. تاثیر پیش تیمارها در خشک کردن آلبالو در دماهای بالاتر کمتر می‌شود. بیشترین تاثیر آماده سازی محصول در کاهش مصرف انرژی مربوط به کاربرد پیش تیمار اتیل اولئات و بعد از آن کاربرد پیش تیمار آجبوش نمک بود که انرژی ویژه خشک کردن آلبالو را بیش از ۸۰ درصد کاهش داد.

منابع

- بدیعی، م. ۱۳۷۱. فرمول‌ها آحاد ارقام در علوم و مهندسی، (تالیف K.Gieck). انتشارات جعفری. کرج.
- بنام، ۱۳۸۶. آلبالوی خشک-ویژگی‌ها. استاندارد ملی شماره ۲۳۴۱. تجدید نظر اول. مؤسسه استاندارد و تحقیقات صنعتی ایران.
- زمردی، ش. ۱۳۸۶. تکنولوژی فرآوری میوه‌های خشک و کنترل کیفیت آنها. انتشارات جهاد دانشگاهی ارومیه.
- عین افشار، س. ۱۳۸۸. تولید آلبالو خشک با رطوبت بالا. گزارش نهایی پژوهه تحقیقاتی به شماره ۸۸/۵۲۷. مؤسسه تحقیقات فنی و مهندسی کشاورزی، وزارت جهاد کشاورزی. کرج.
- قادری، ع.؛ عباسی، س.؛ متولی، ع. و مینایی، س. ۱۳۹۰. انتخاب‌مدل‌یاضیرای‌سیستمیک‌خشک‌کردن‌میوه‌آلبالو در خشک کنمايكروویو- خلاً. مجله‌علوم‌متغذیه‌و صنایع‌غذایی‌ایران، سال ۶ شماره ۲: ۵۵-۶۲.
- متولی، ع.؛ مینایی، س.؛ عباسی، س. و قادری، ع. ۱۳۸۹. بررسی فرایند خشک‌کردن‌میوه‌آلبالو در خشک کنمايكروویو- خلاً. مجله‌مهندسي بيوسيستم ايران، ۴۱(۲): ۱۶۲-۱۶۸.
- Akpınar, E., A. Midilli, and Y. Bicer. 2003. Single layer drying behaviour of potato slices in a convective cyclone dryer and mathematical modelling. Energy Conversion and Management 44: 1689-1705.
- Akpınar, E. K. and Y. Bicer. 2006. Mathematical Modeling and Experimental Study on Thin Layer Drying of Strawberry. International Journal of Food Engineering, Vol. 2, Iss. 1, Art 5.

9. Doymaz, I. 2004. Effect of dipping treatment on air drying of plums J. of Food Eng. 64(4): 465-470.
10. Doymaz, I. 2007. Influence of pretreatment solution on drying of sour cherry. J. of Food Eng. 78(2): 591-596.
11. Esmaiili, M., R. Sotudeh-Gharebagh, M.A.E. Mousavi, and Gh. Rezazadeh .2007. Influence of dipping on thin-layer drying characteristics of seedless grapes. Biosys. Eng. 98(4): 411-421.
12. Falade, K. O., E. Abbo .2007. Air-drying and rehydration characteristics of date palm (*Phoenix dactylifera L.*) fruits. Journal of Food Engineering, 79, 724–730.
13. Goyal, R. K., A. R. P. Kingsly, , M. R. Manikantanand, andS. M. Ilyas. 2007. Mathematical modelling of thin layer drying kinetics of plum in a tunnel dryer. Journal of Food Engineering 79(1): 176-180.
14. Humphrey, K.J.T., , J.L. Price; D.L. Scott, and C.M. Stark. 2006. Handy Reference for Drying Fruits. Cornell University.
15. Jindarat, W., P. Rattanadecho, S. Vongpradubchai and Y. Pianroj. 2011. Analysis of energy consumption in drying process of non-hygroscopic porous packed bed using a combined multi-feed microwave-convective air and continuous belt system (CMCB) Drying Technology, 29: 926–938.
16. Koyuncu, T., F. Lule, and K. E. Engin. 2012. Convective and Microwave Drying Characteristics of Garden Cress Leaves (*Lepidium sativum L.*) proceeding of CIGR-AgEng conference. Valencia, Spain.
17. Midilli, A., H. Kucuk and Z. Yapar. 2002. A new model for single layer drying. *Dry Technol* 120 (7):1503-1513.
18. Mohsenin Nuri, N. 1970. Physical Properties of Plant and Animal Materials. Gordon and Breach Science Pub. New York, USA.
19. Mujumdar, Arun S. 2000. Drying Technology in Agriculture and Food Sciences. Science publisher, Inc. Enfield (NH), USA.
20. Sharma, G.P. and S. Prasad. 2006. Specific energy consumption in microwave drying of garlic cloves. Energy, 31(12): 1921-1926
21. Tarhan, S. 2007. Selection of chemical and thermal pretreatment combination for plum drying at low and moderate drying air temperatures. J. of Food Eng. 79(1): 255-260.
22. Tarhan, S., G. Ergunes, and O.F. Taser. 2006. Selection of chemical and thermal pretreatment combination to reduce the dehydration time of sour cherry (*Prunus cerasus L.*). J. of Food Process Eng. 29(6): 651-663.

Influence of pretreatment methods on sourcherry drying process

Hamid Reza Gazor^{1*} Hooman Sharifnasab² Omid Reza Roostapoor³

1- Assistant professor of Agricultural Engineering Research Institute, hgazor@yahoo.com

2- Assistant professor of Agricultural Engineering Research Institute

3- Assistant professor of Agricultural Research Center of Fars Province

Abstract

Influence of using pretreatments and temperatures were investigated on time and drying modeling of sour cherry. Drying process carried on at temperatures 50, 60 and 70 °C. Four pretreatment conditios dipping in boiling water, dipping in 20% salty boili water, dipping in 2% ethyl oleate solution,no pretreatment (control) considered for sour cherry before drying. Drying kinetic of sour cherry drying was study using selected semi-theoretical and empirical thin-layer drying models, namely, Newton(Lewis), Henderson and Pabis, Page, Logarithmic, Approximate Diffusion, Two-term Exponential, and Midilli et al. models. It was concluded that the Midilli et al. and Logarithmic models were found to be most suitable in describing the drying characteristics of sour cherry. Results showed that increasing temperature caused to reduction drying time of sour cherry. This effect was higher for control treatments and increasing of temperature from 50 to 70 °C decreased drying time more than 80%.Using of pretreatment solutions increase-drying rate in all drying temperatures. Dipping in salty boiling water was better than the other solutions. It reduced drying time of sour cherry 83% than control treatment. The Midilli et al. model (MDM) was the most suitable in describing the drying characteristics of sour cherry respectively. Using of pretreatment solution reduced energy consumption more than 400 percents and activation energy was calculated about 65% of control treatments.

Key Words: Sour cherry, Drying, Energy, Modeling, Quality